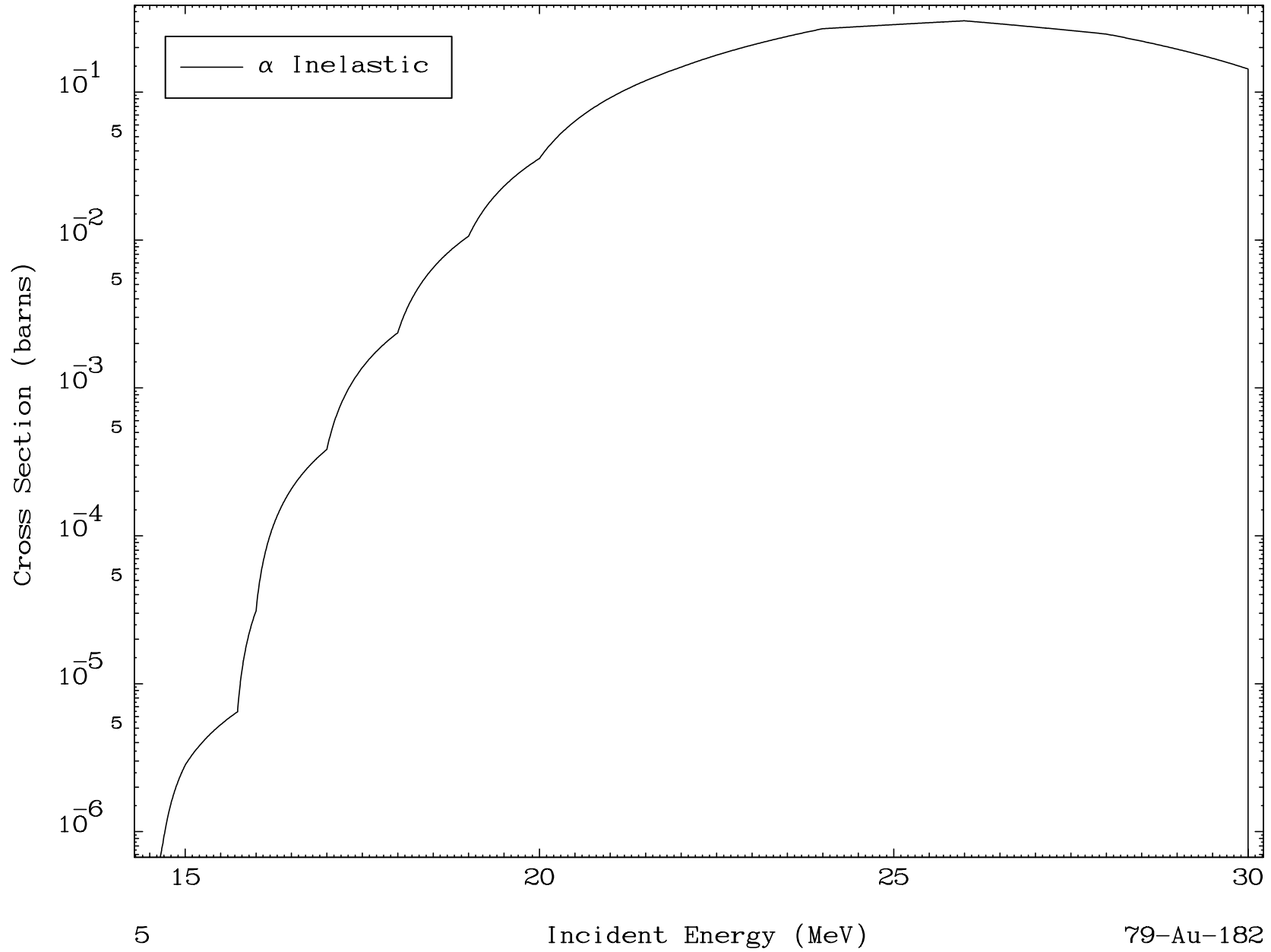
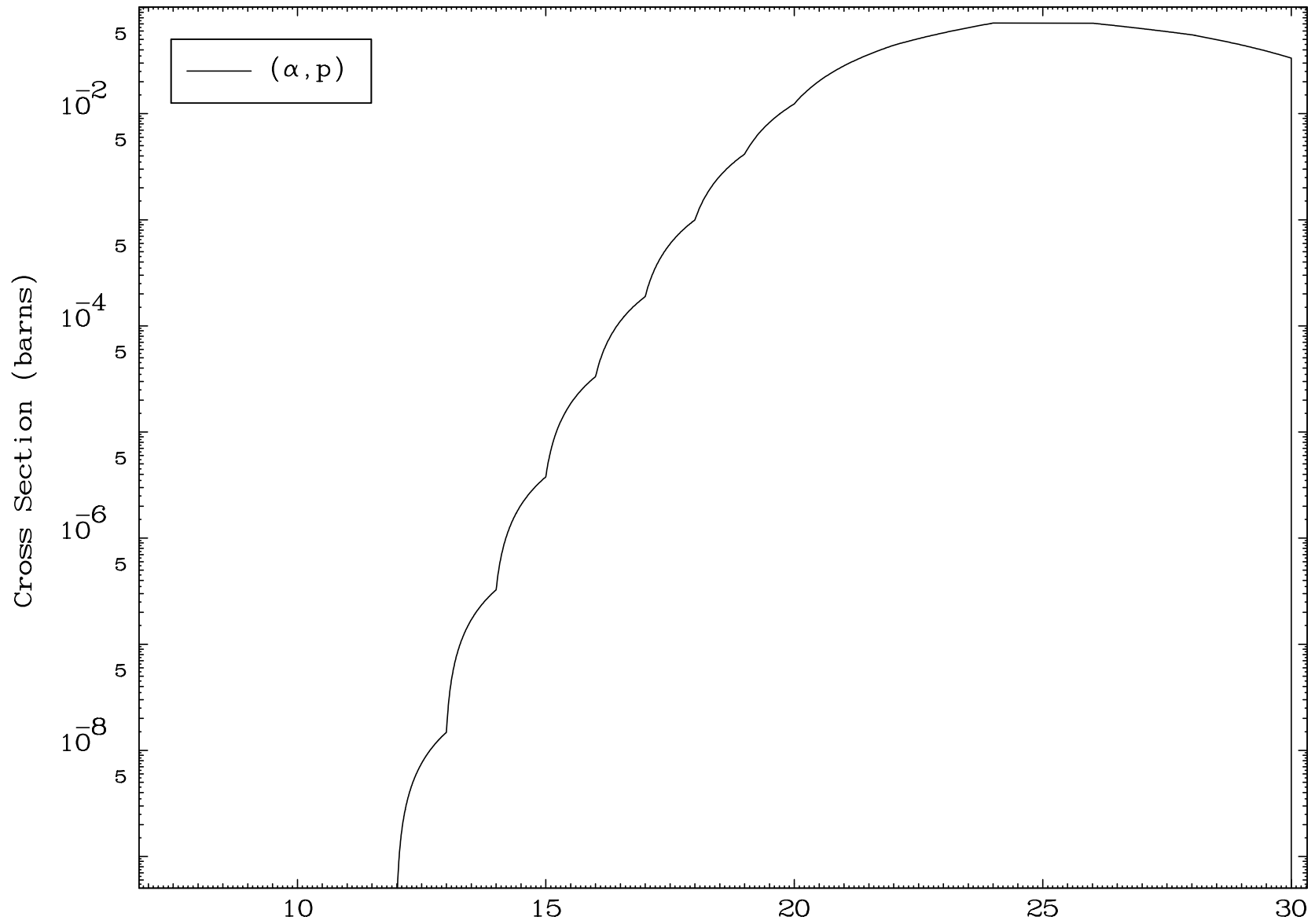


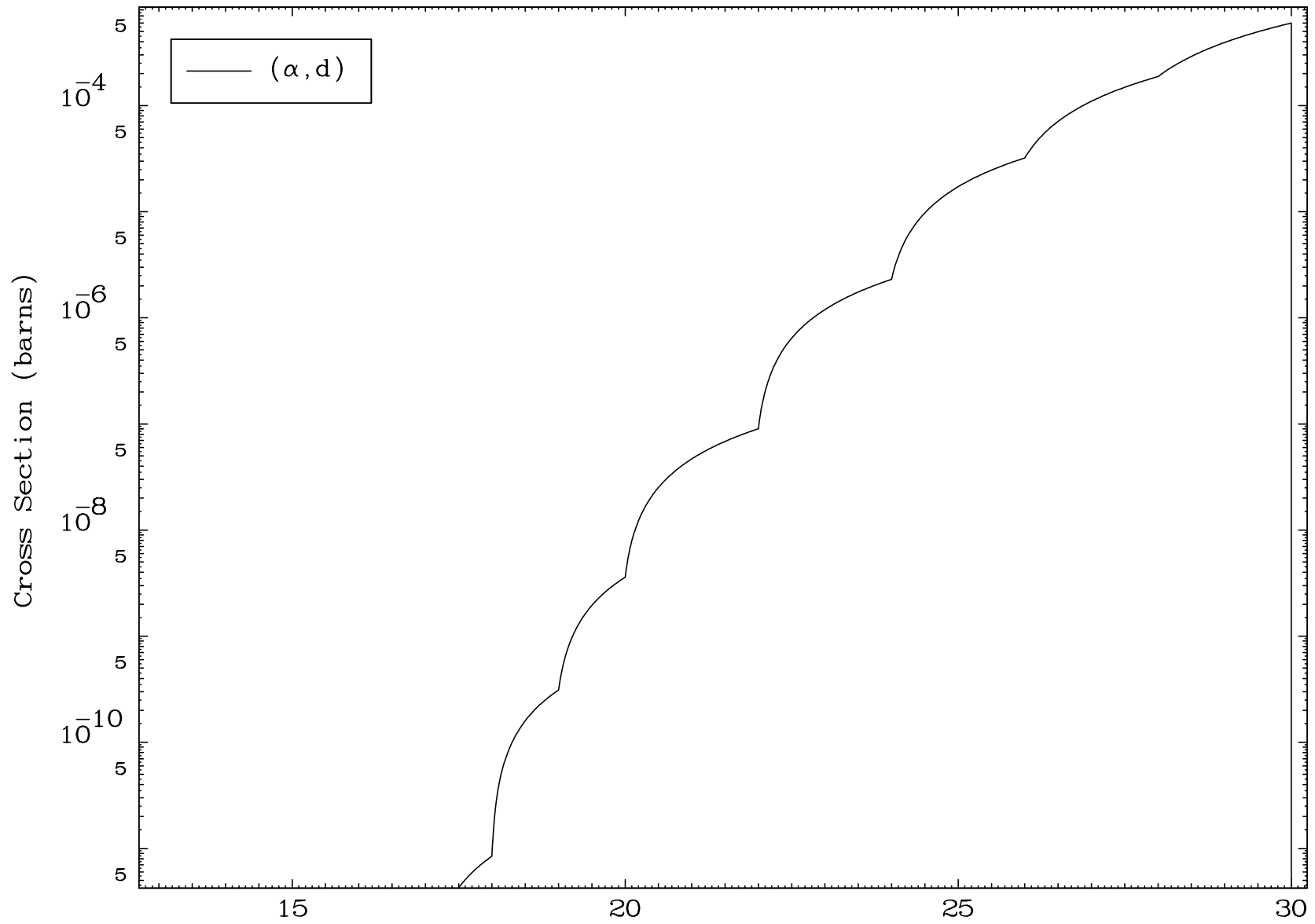
MAT 7880

(α, n') Level
0 Kelvin Cross Sections

79-Au-182



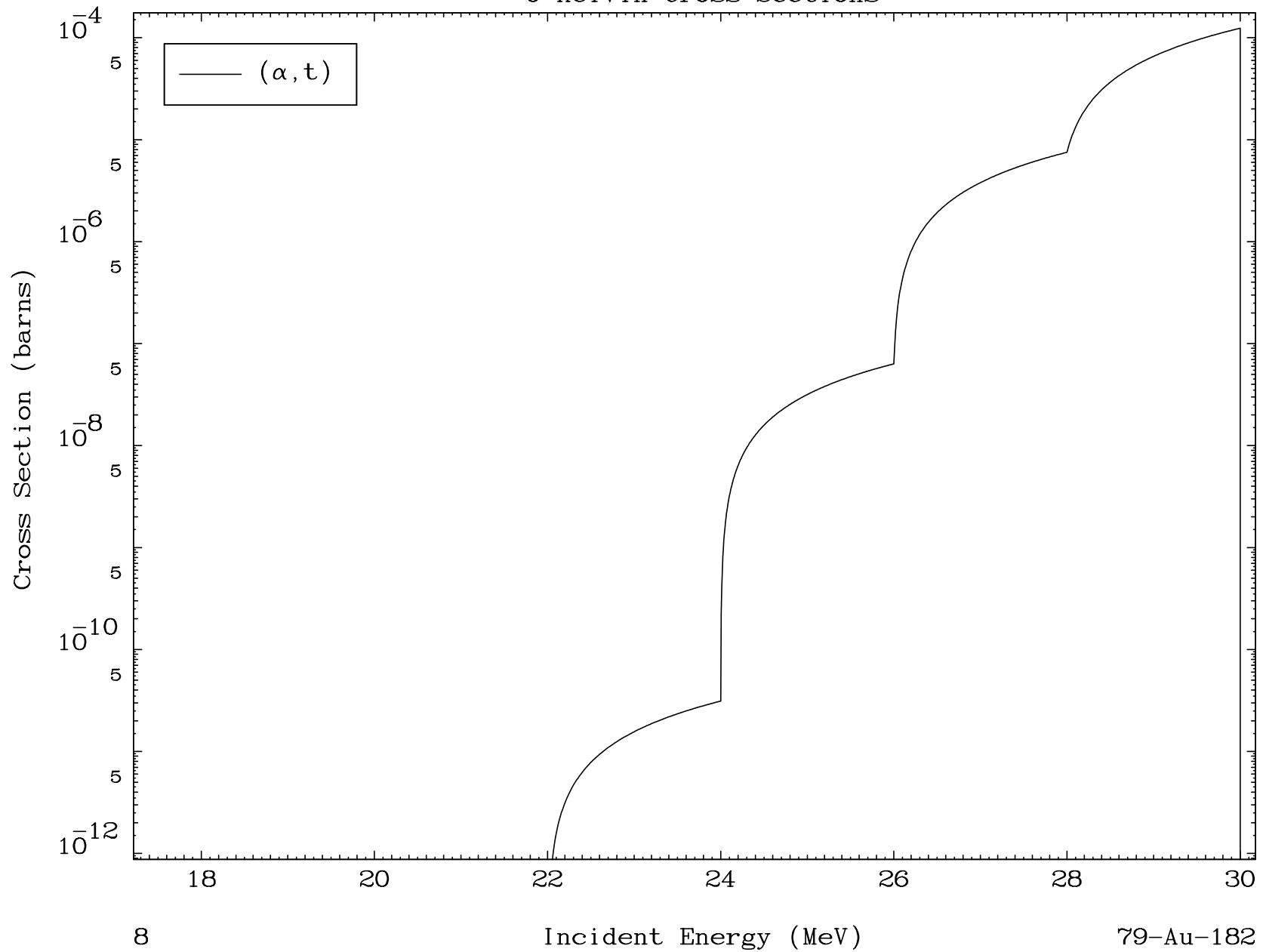




MAT 7880

(α, t) Levels
0 Kelvin Cross Sections

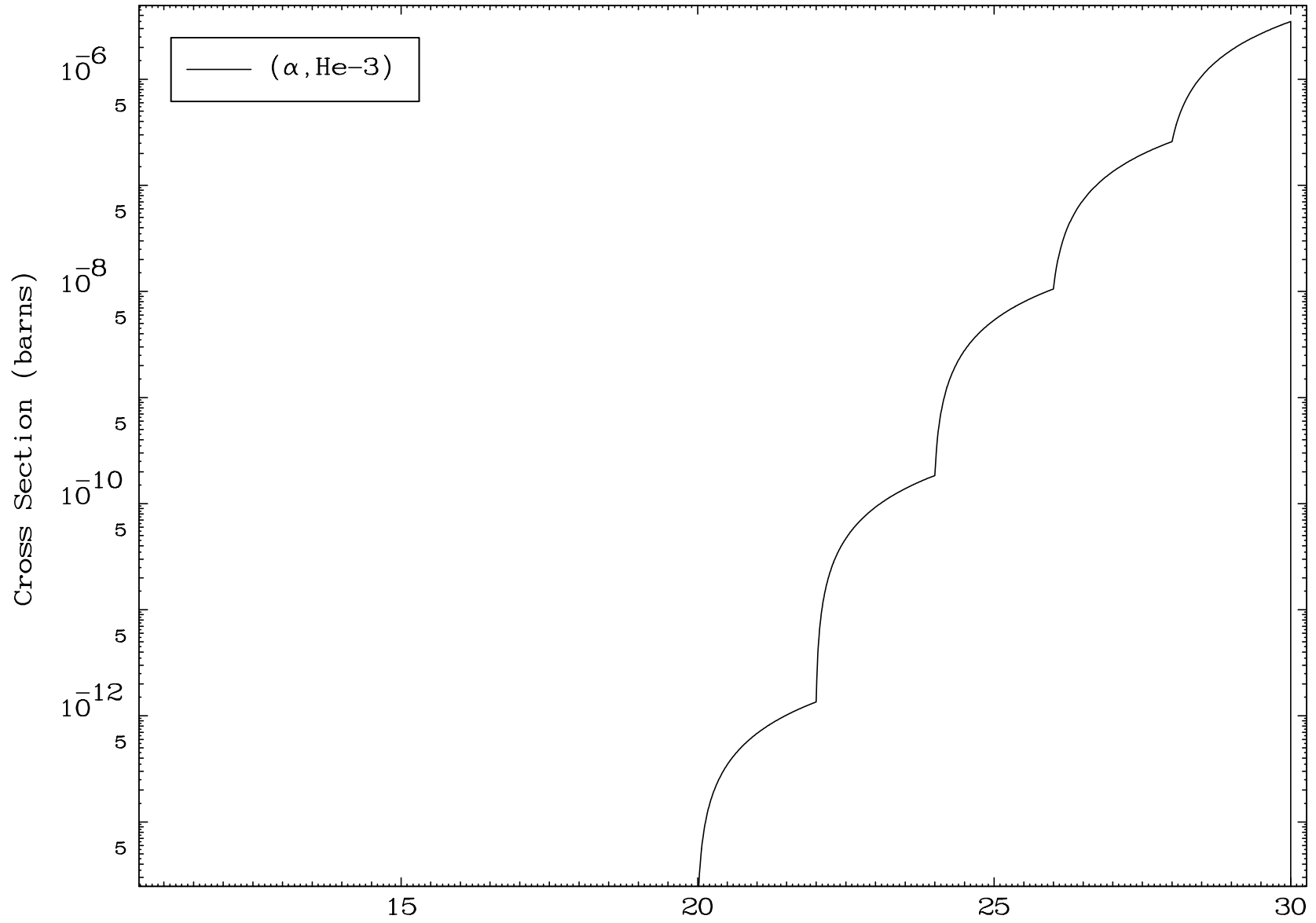
79-Au-182



8

Incident Energy (MeV)

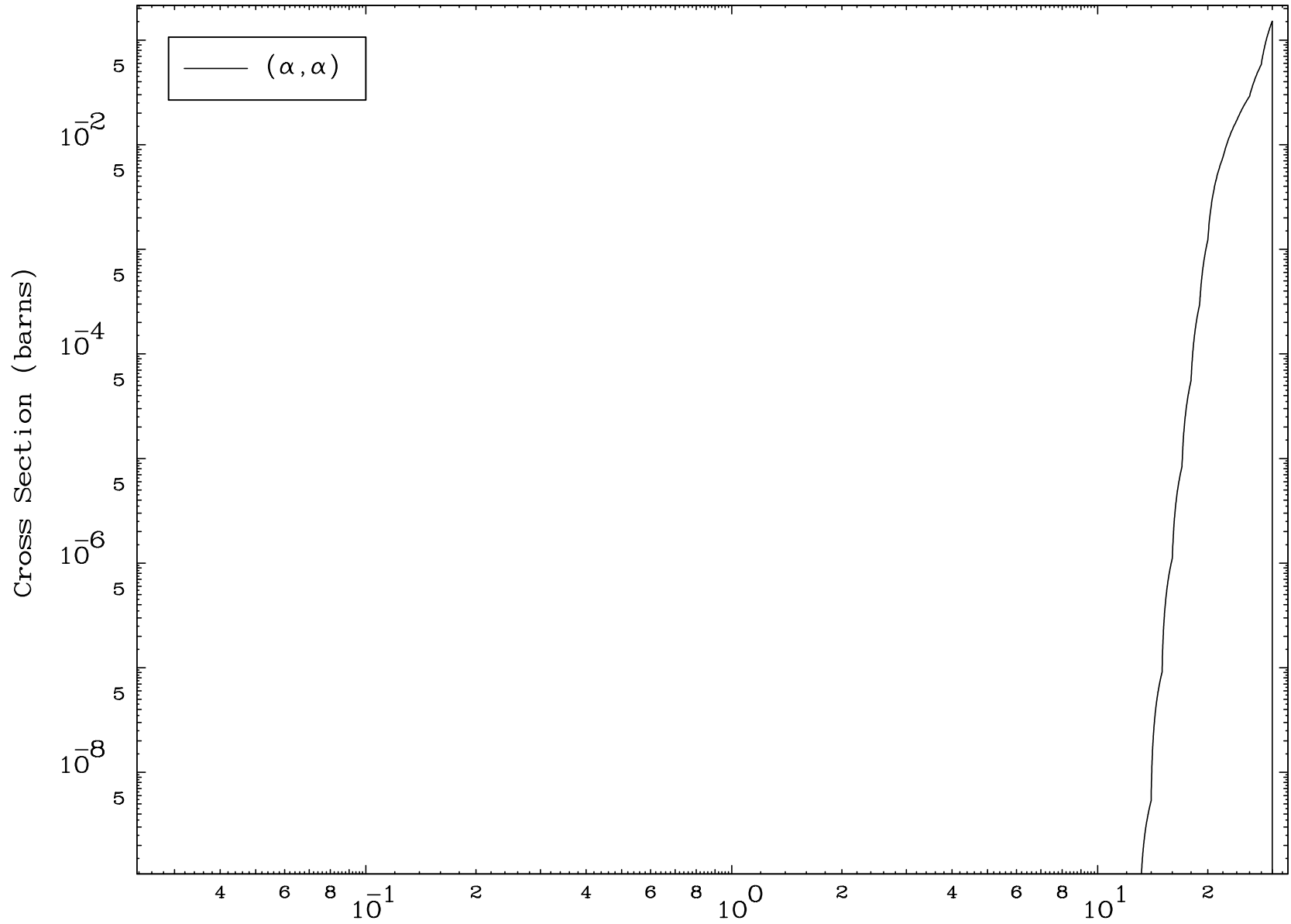
79-Au-182



MAT 7880

(α, α) Levels
0 Kelvin Cross Sections

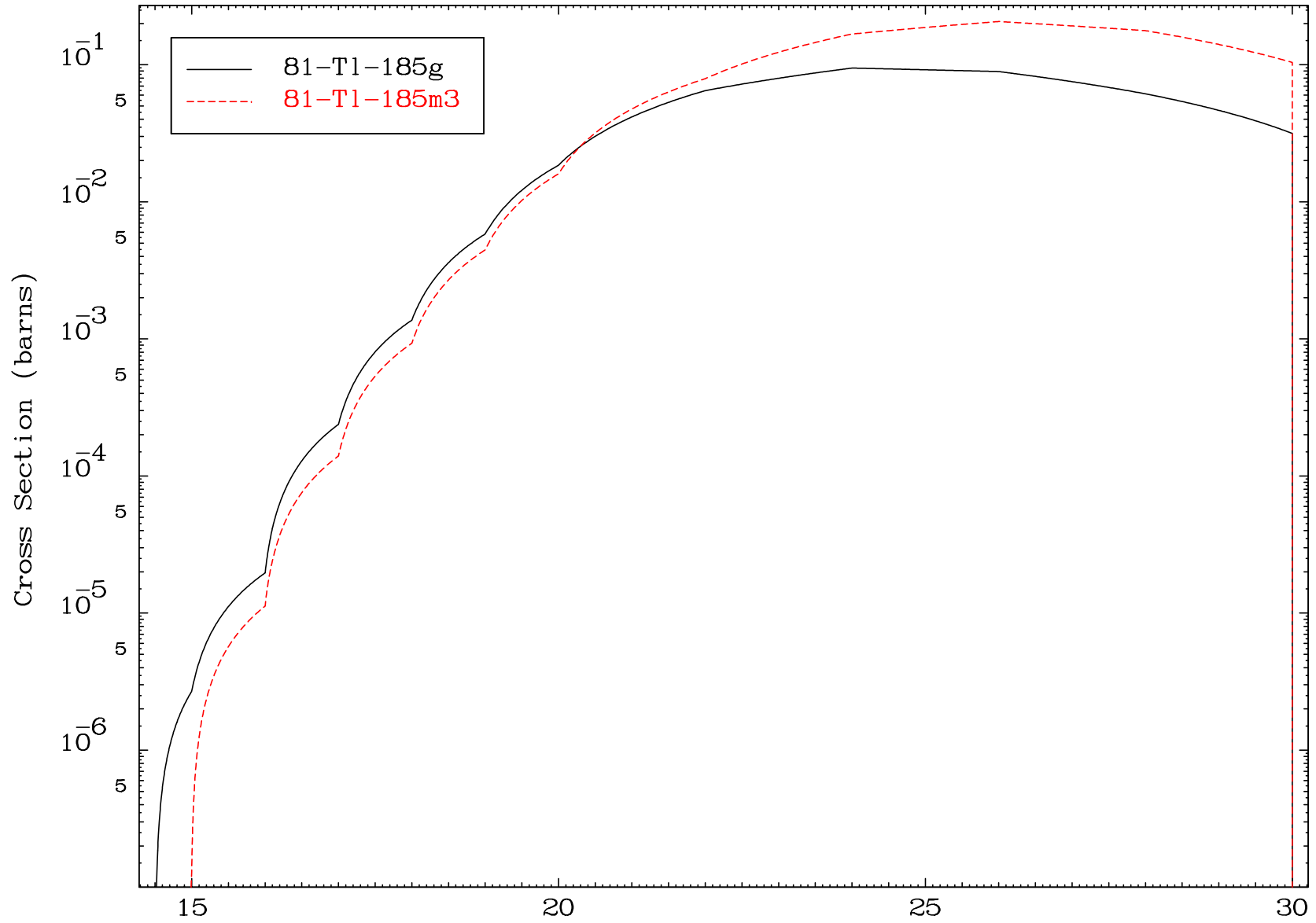
79-Au-182



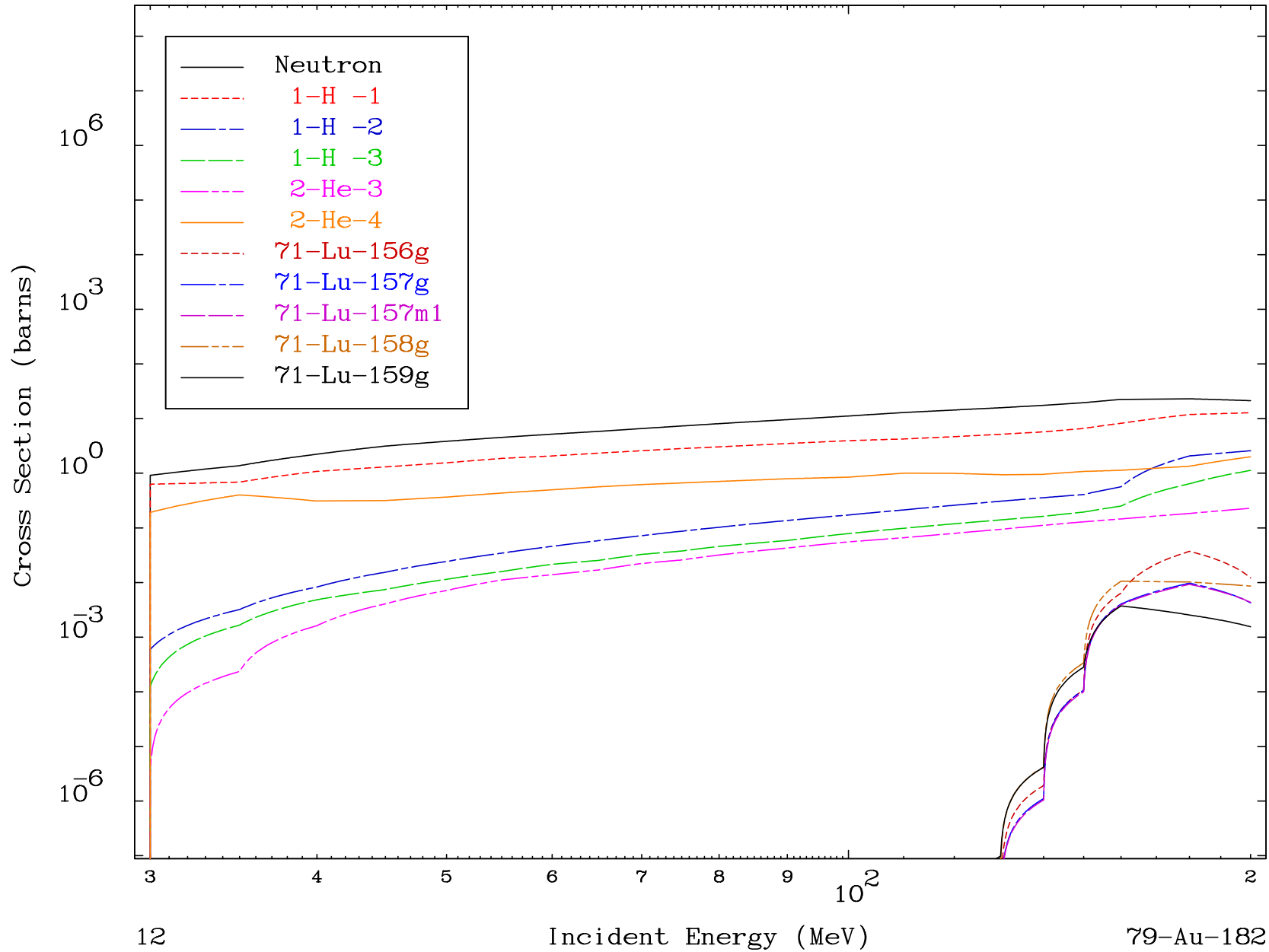
10

Incident Energy (MeV)

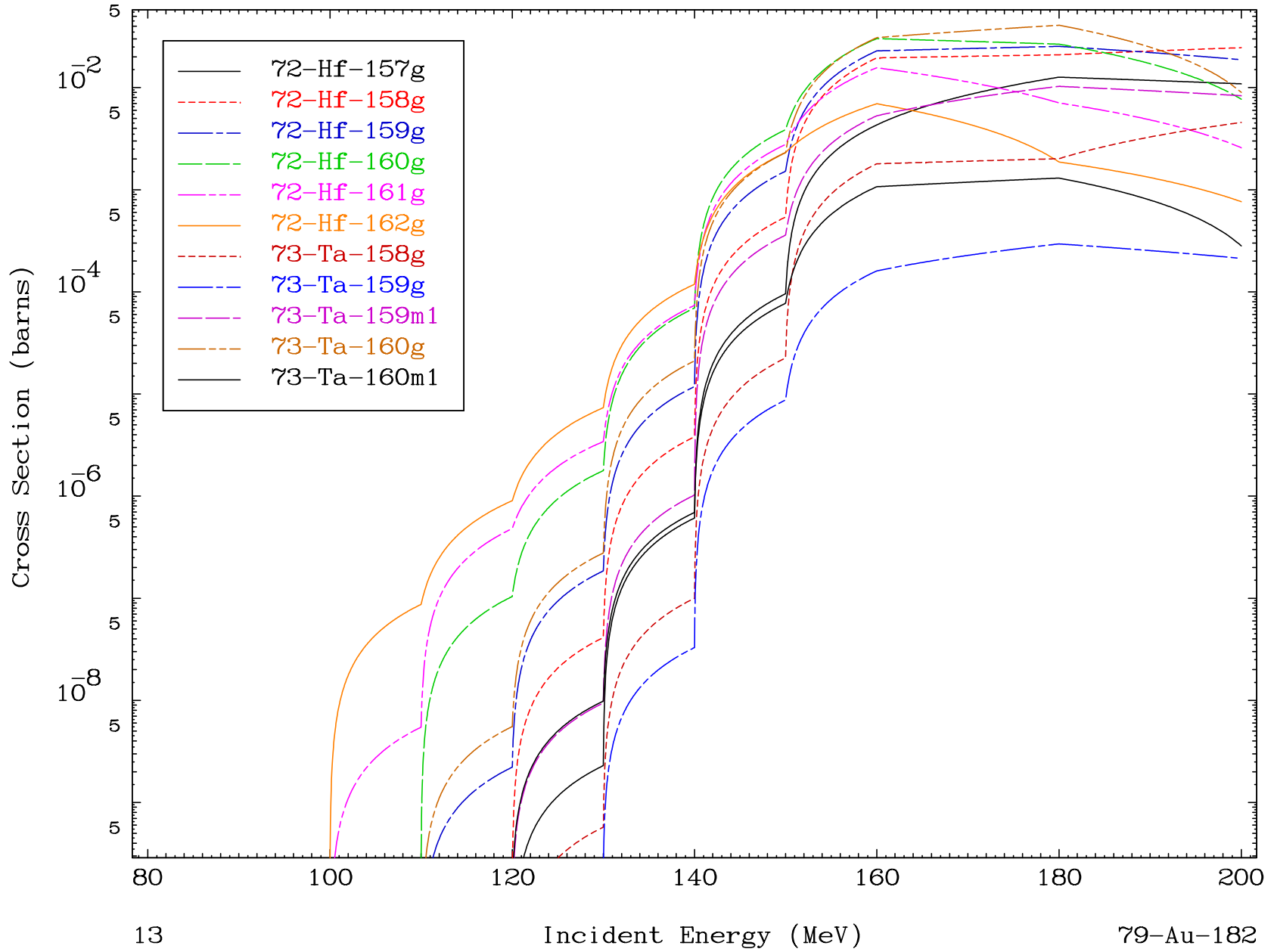
79-Au-182

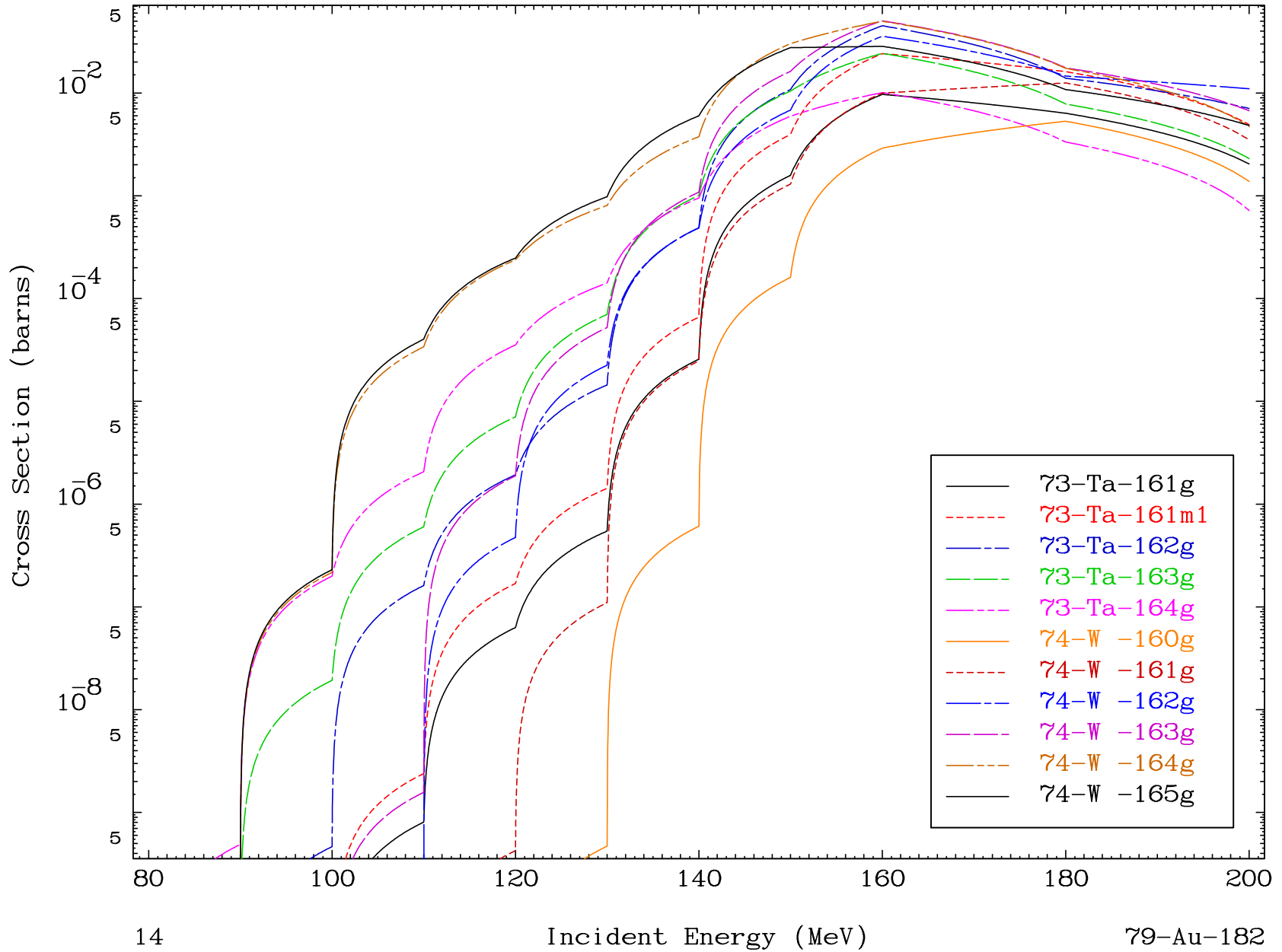


Radionuclide Production Cross Section

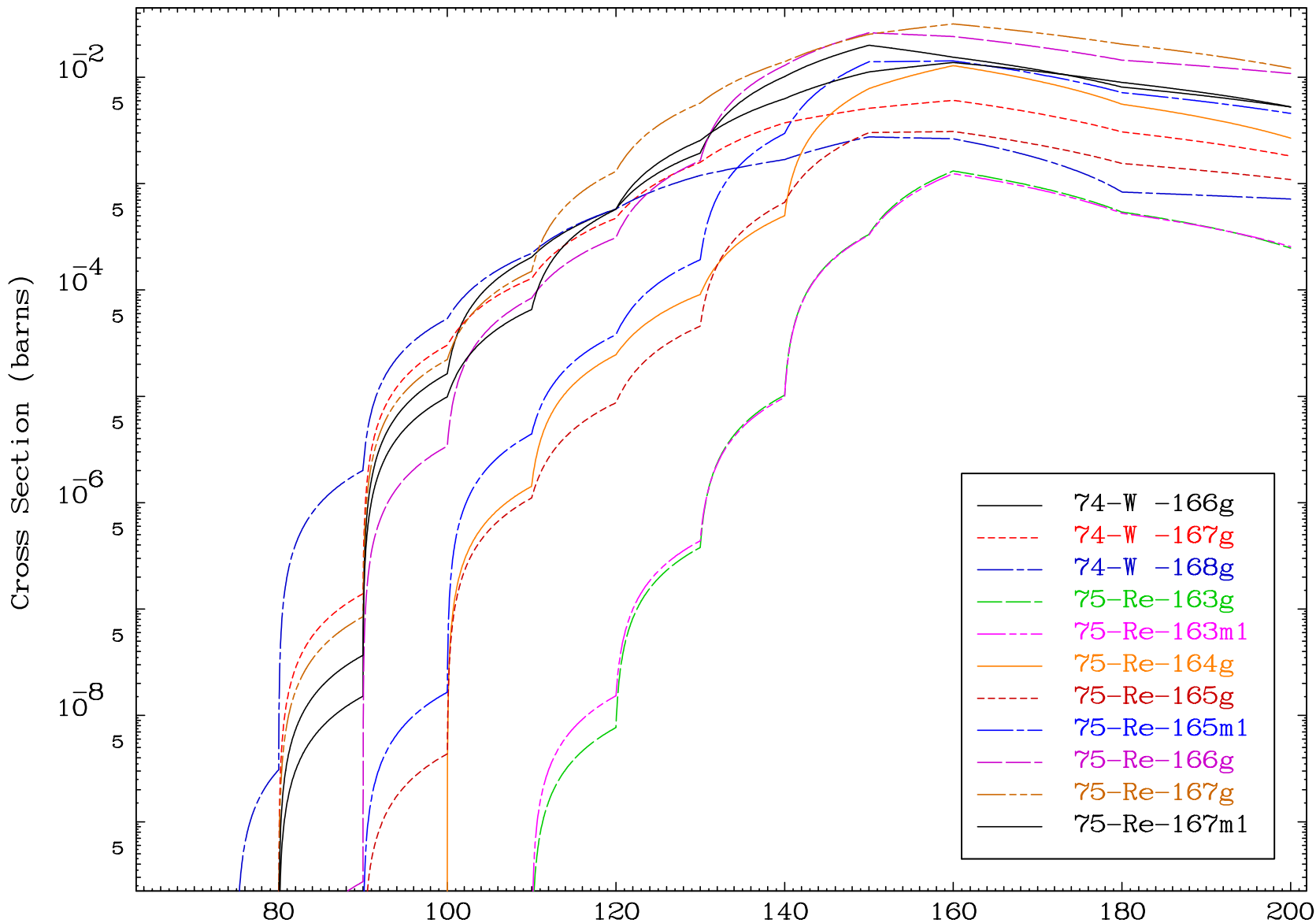


Radionuclide Production Cross Section

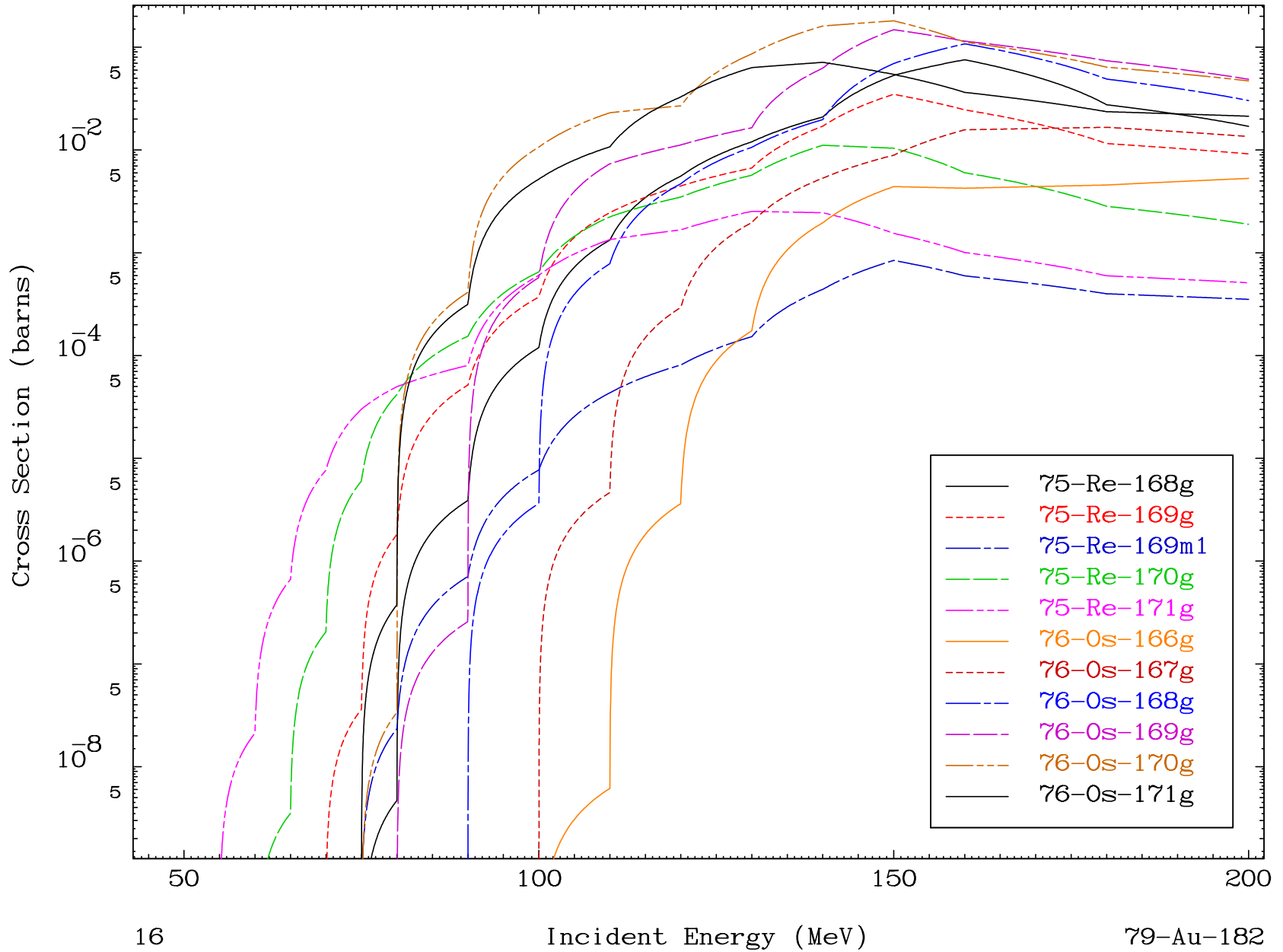




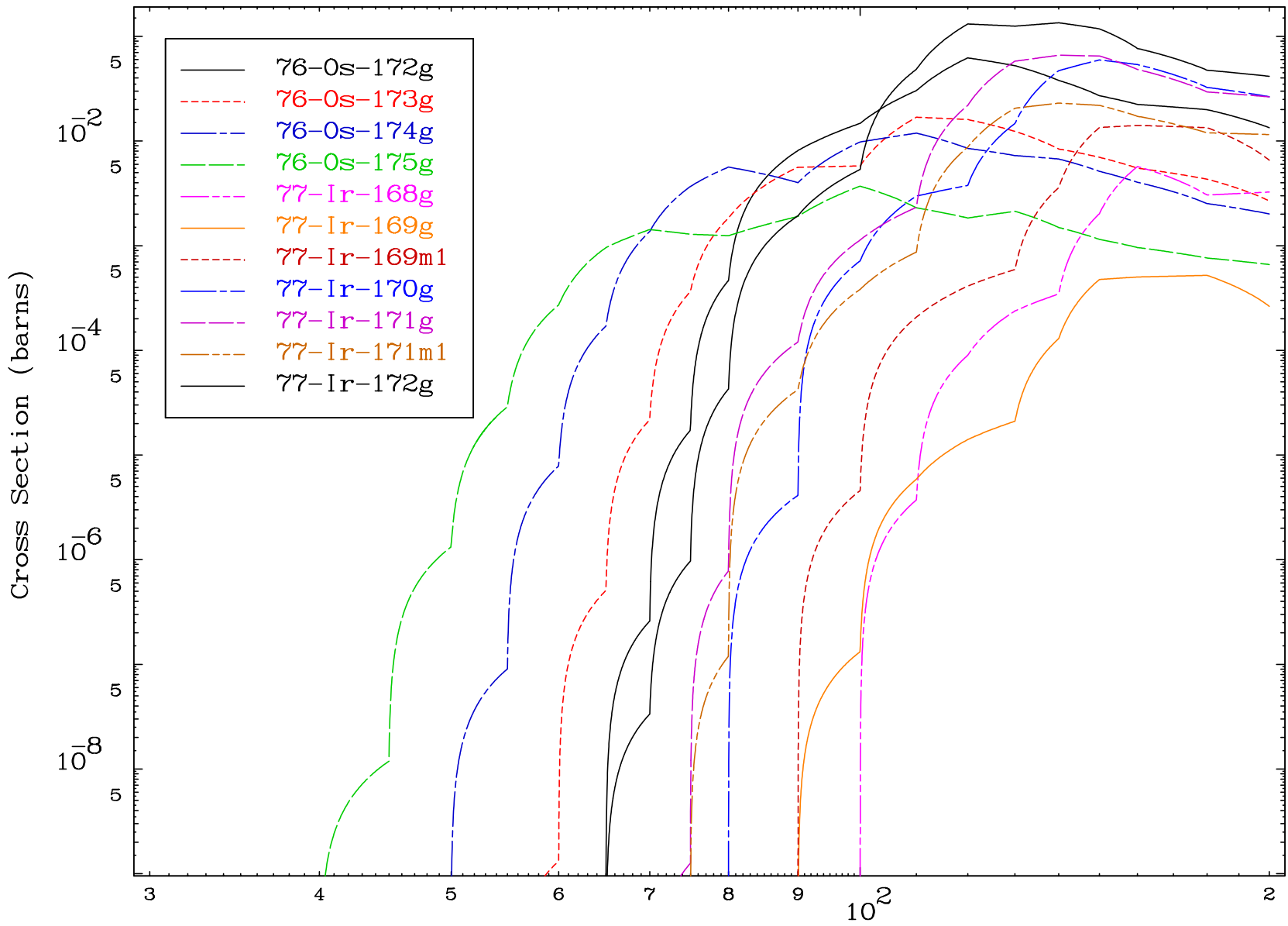
Radionuclide Production Cross Section



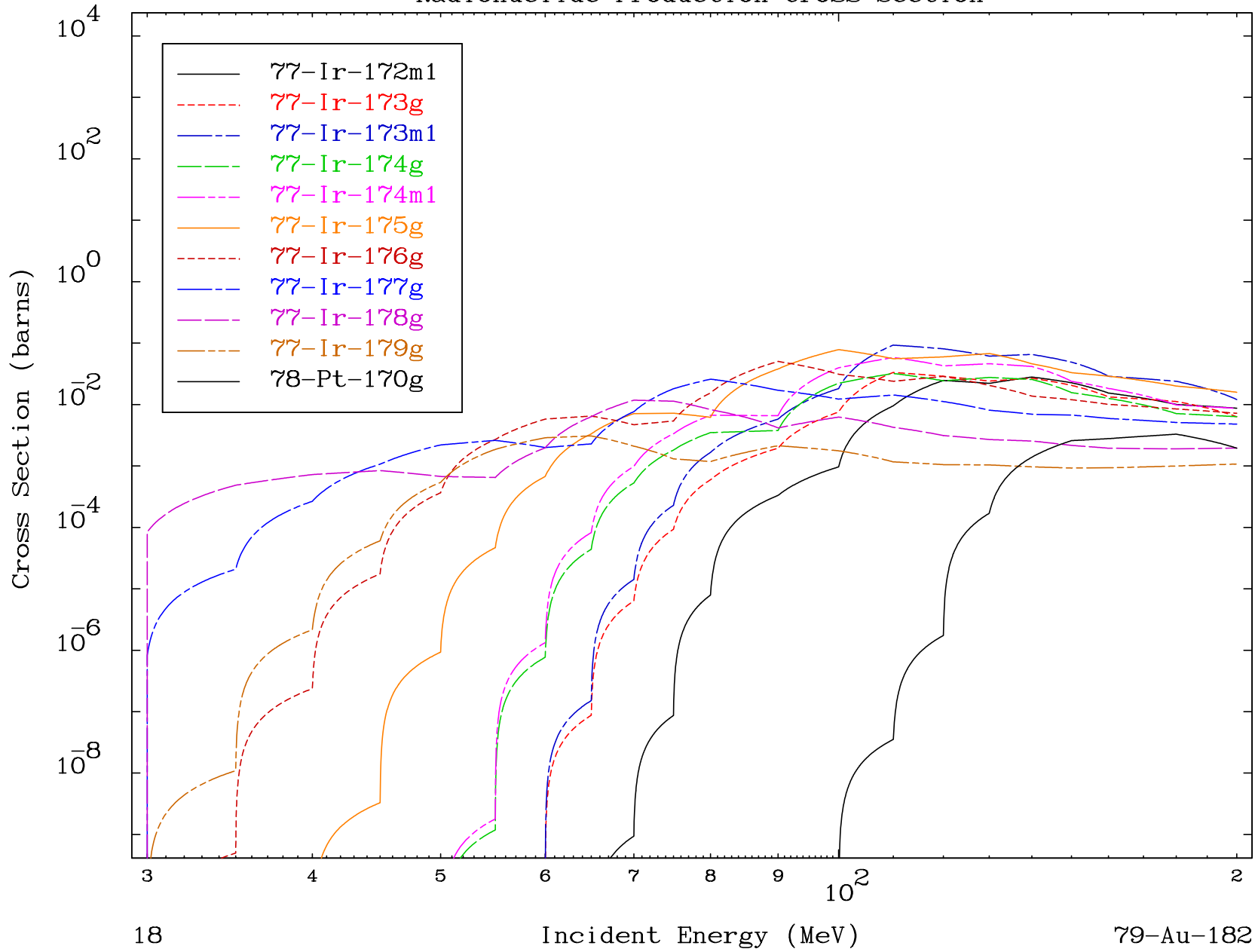
Radionuclide Production Cross Section

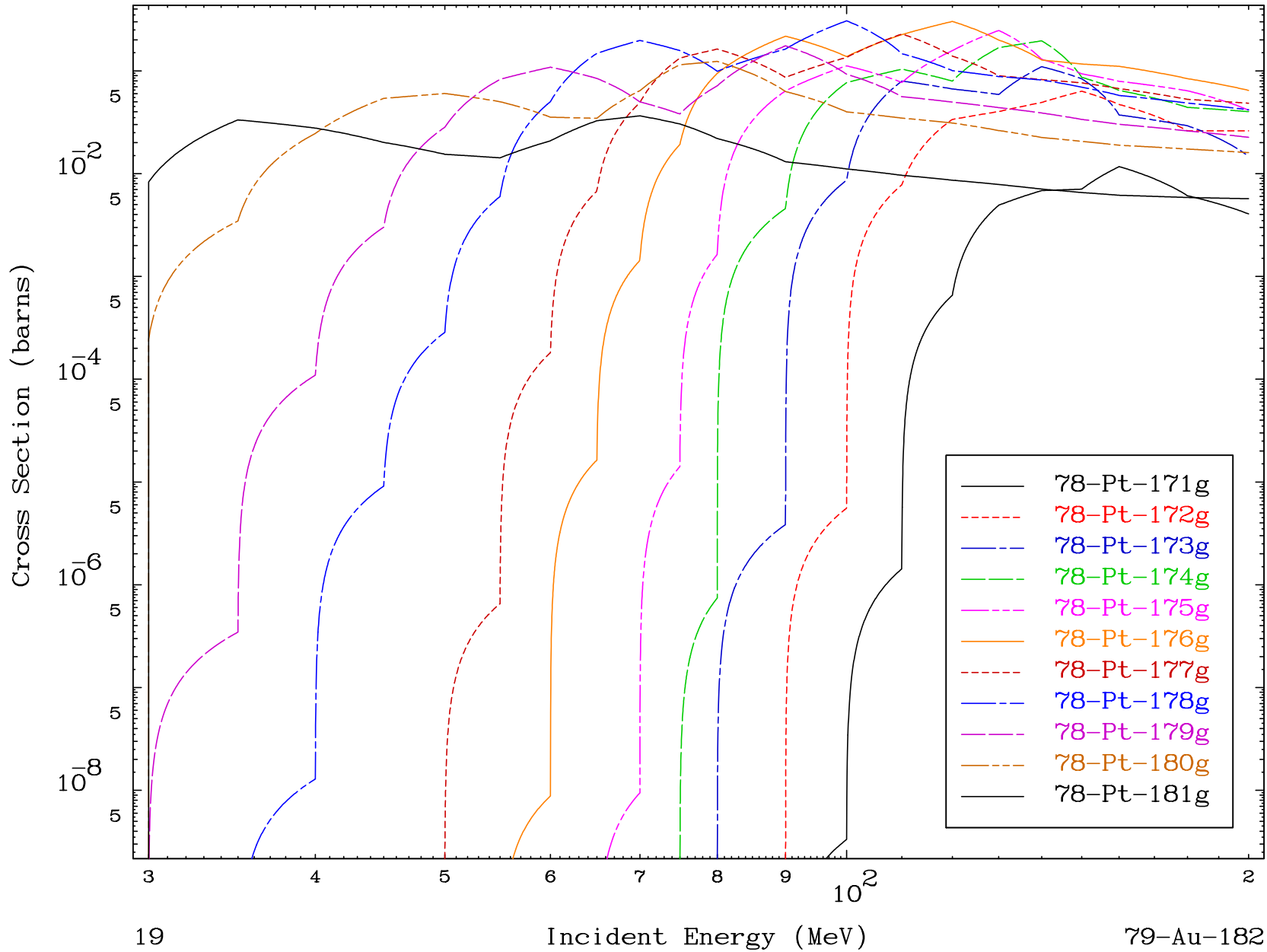


Radionuclide Production Cross Section



Radionuclide Production Cross Section



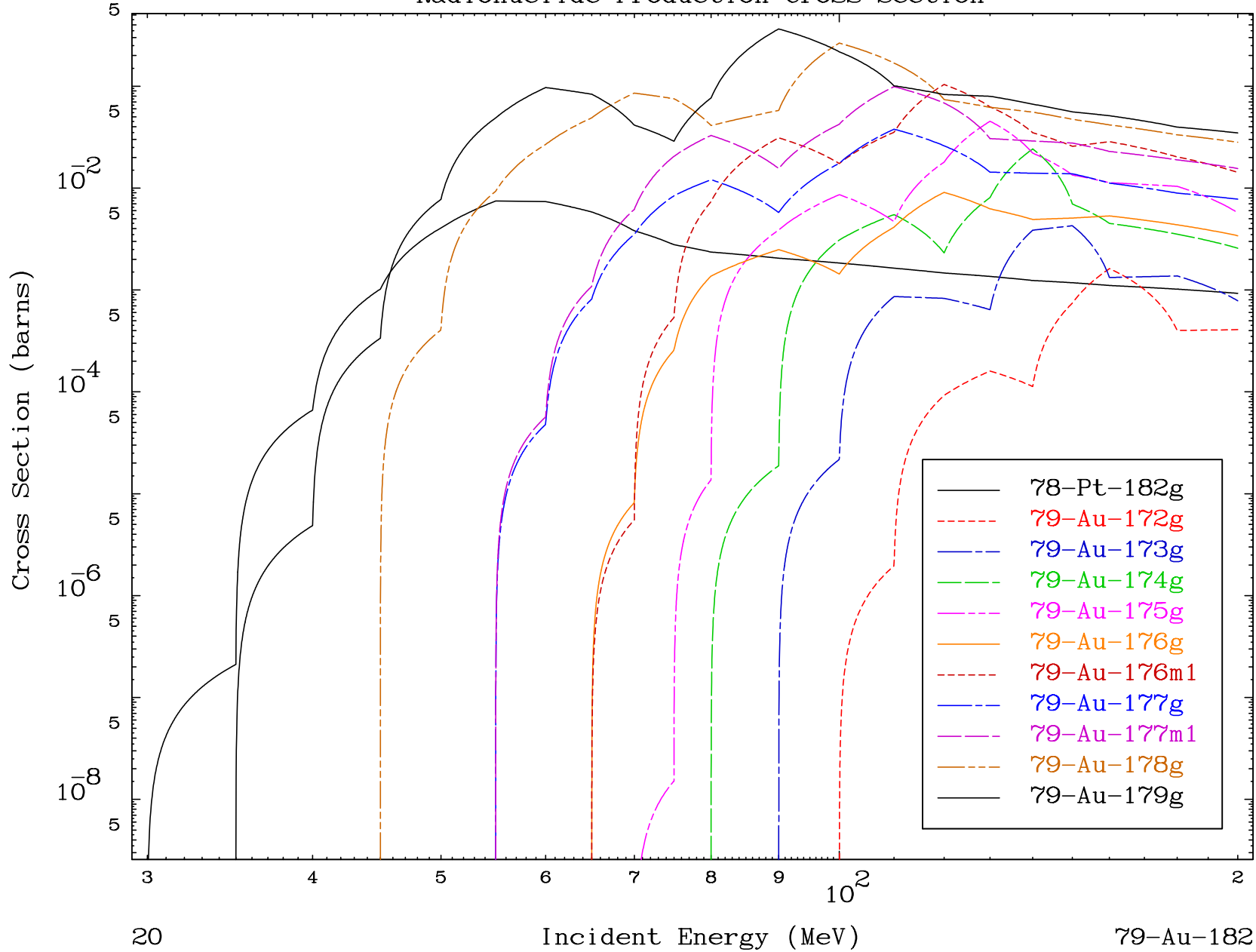


MAT 7880

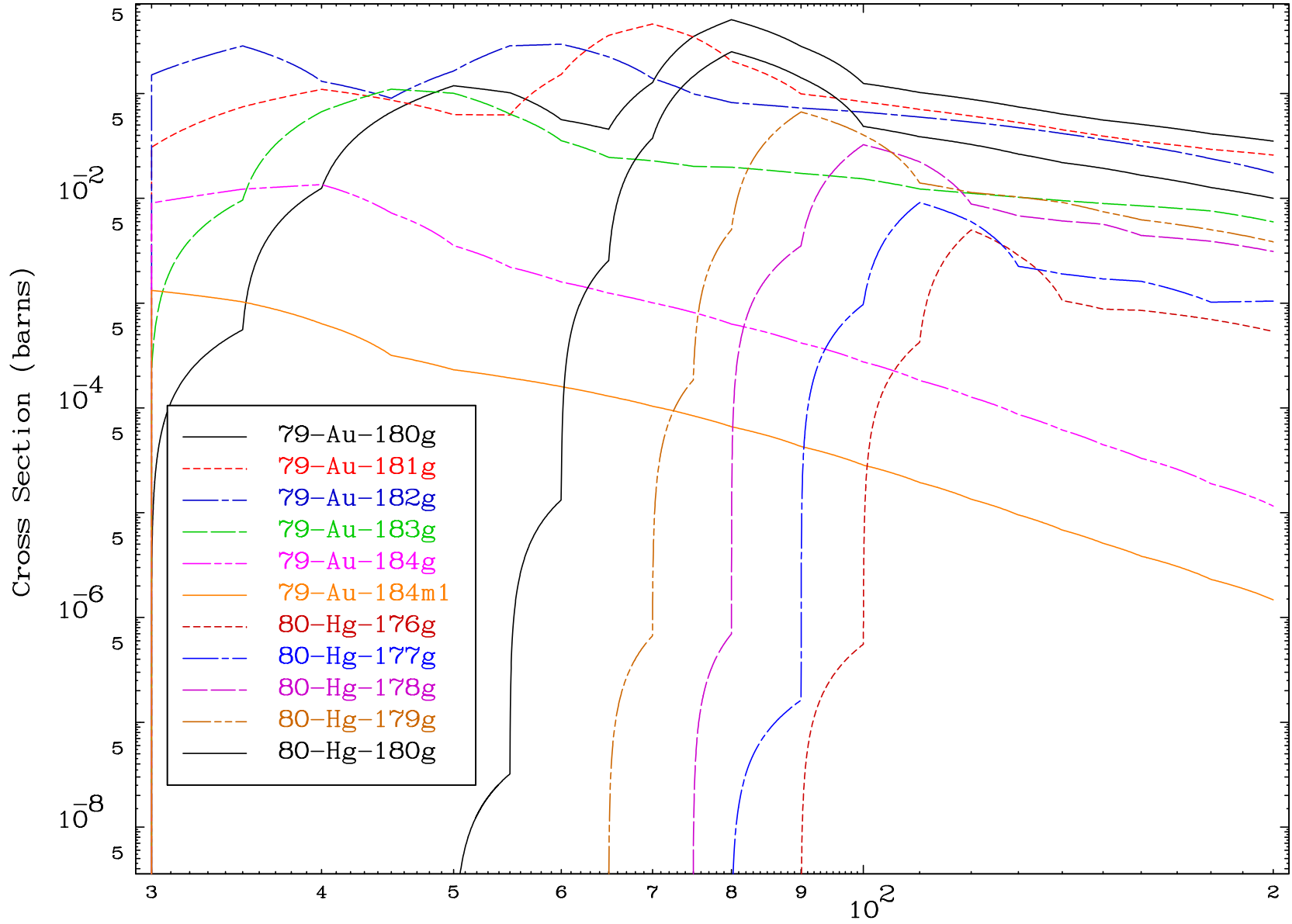
(α , remainder)

79-Au-182

Radionuclide Production Cross Section



Radionuclide Production Cross Section

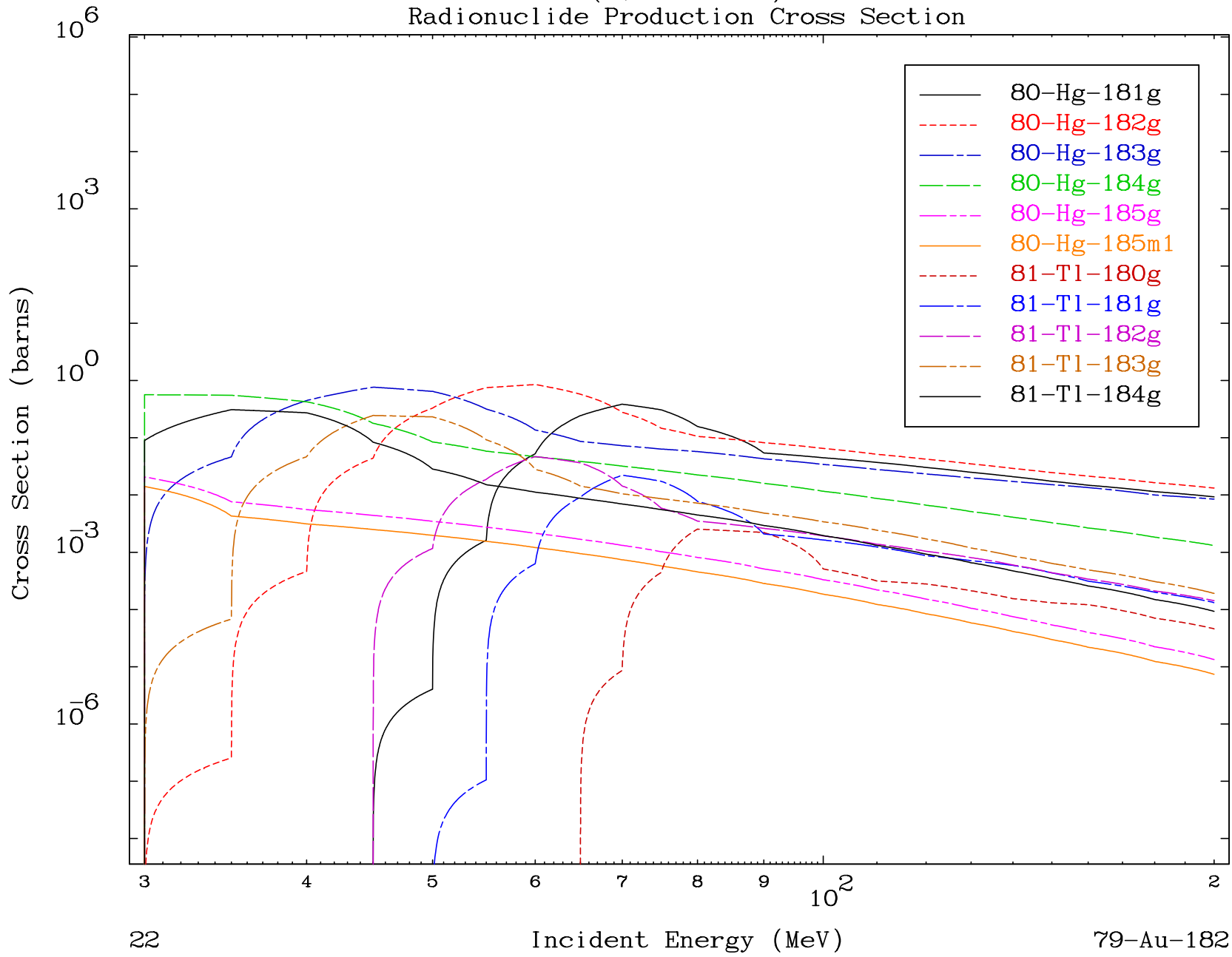


MAT 7880

(α , remainder)

79-Au-182

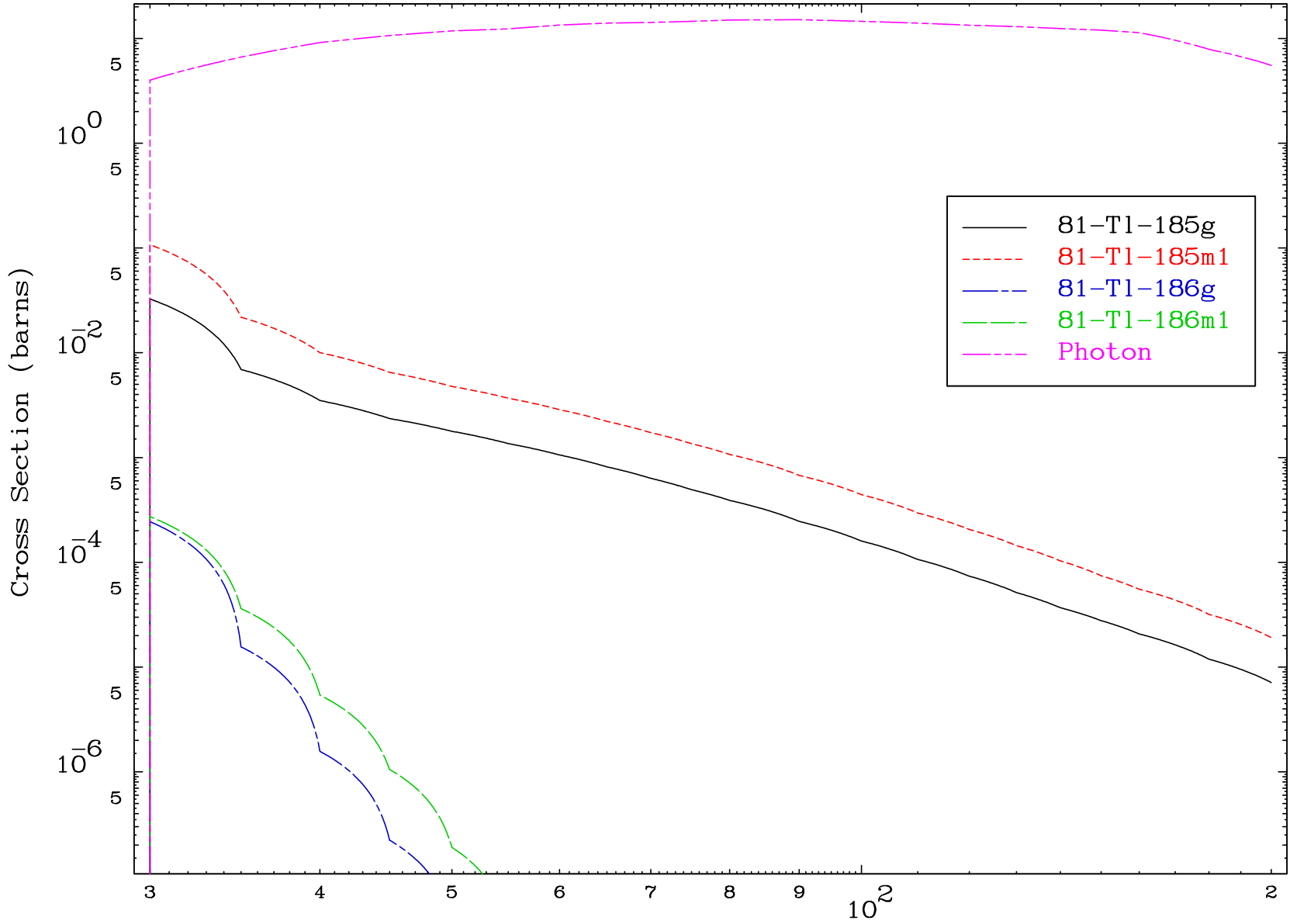
Radionuclide Production Cross Section



22

Incident Energy (MeV)

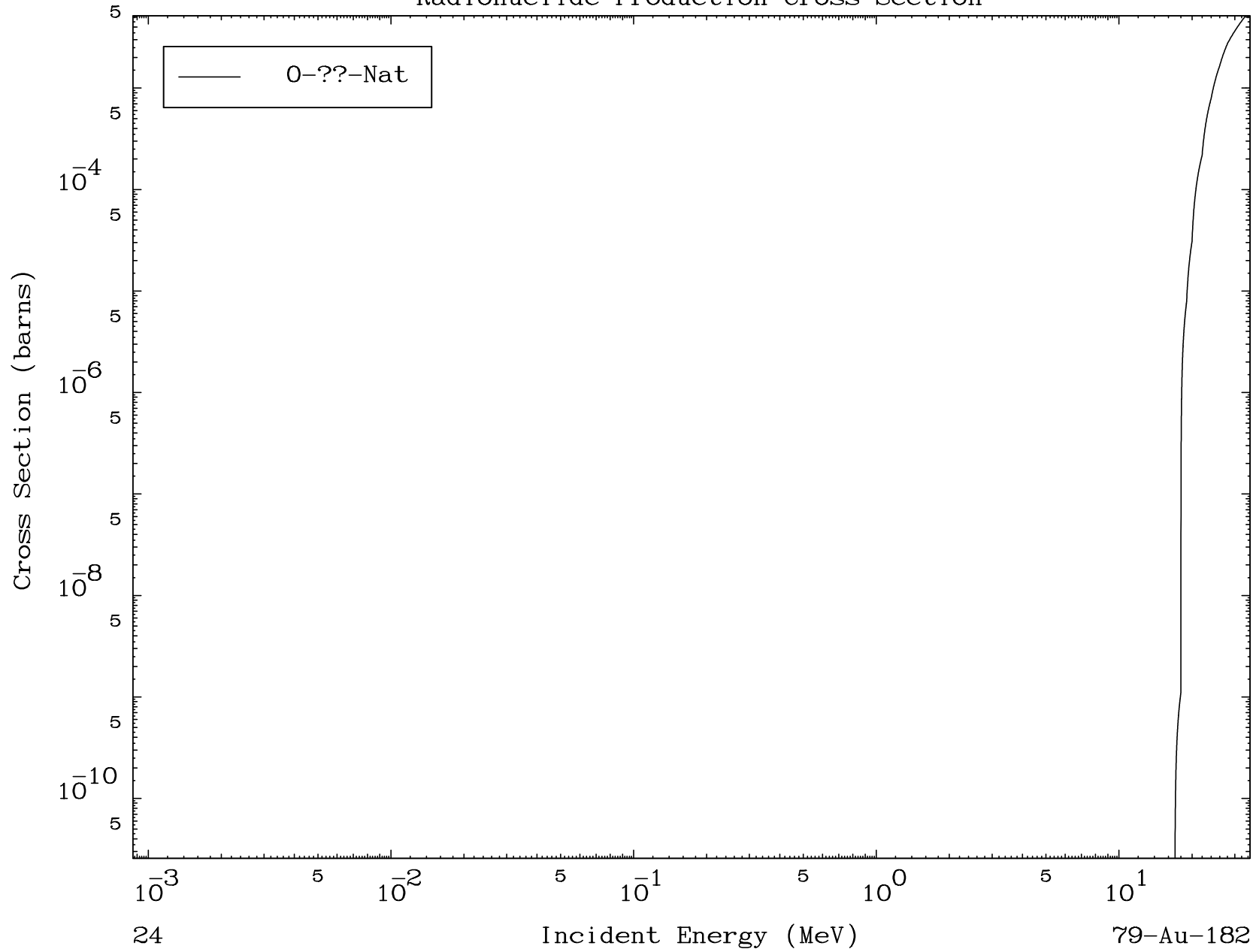
79-Au-182



MAT 7880

α Fission
Radionuclide Production Cross Section

79-Au-182

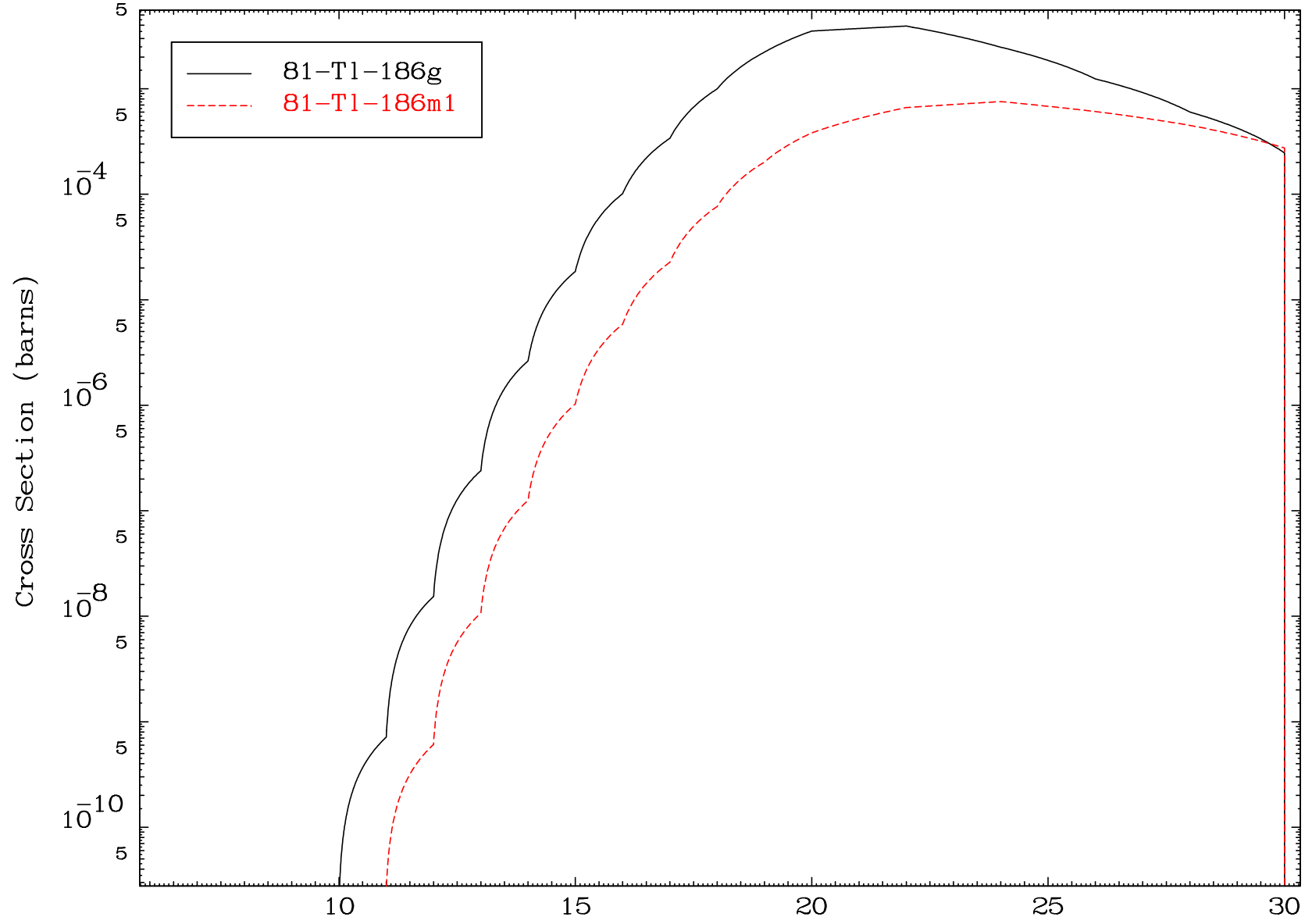


MAT 7880

(α, γ)

79-Au-182

Radionuclide Production Cross Section



25

Incident Energy (MeV)

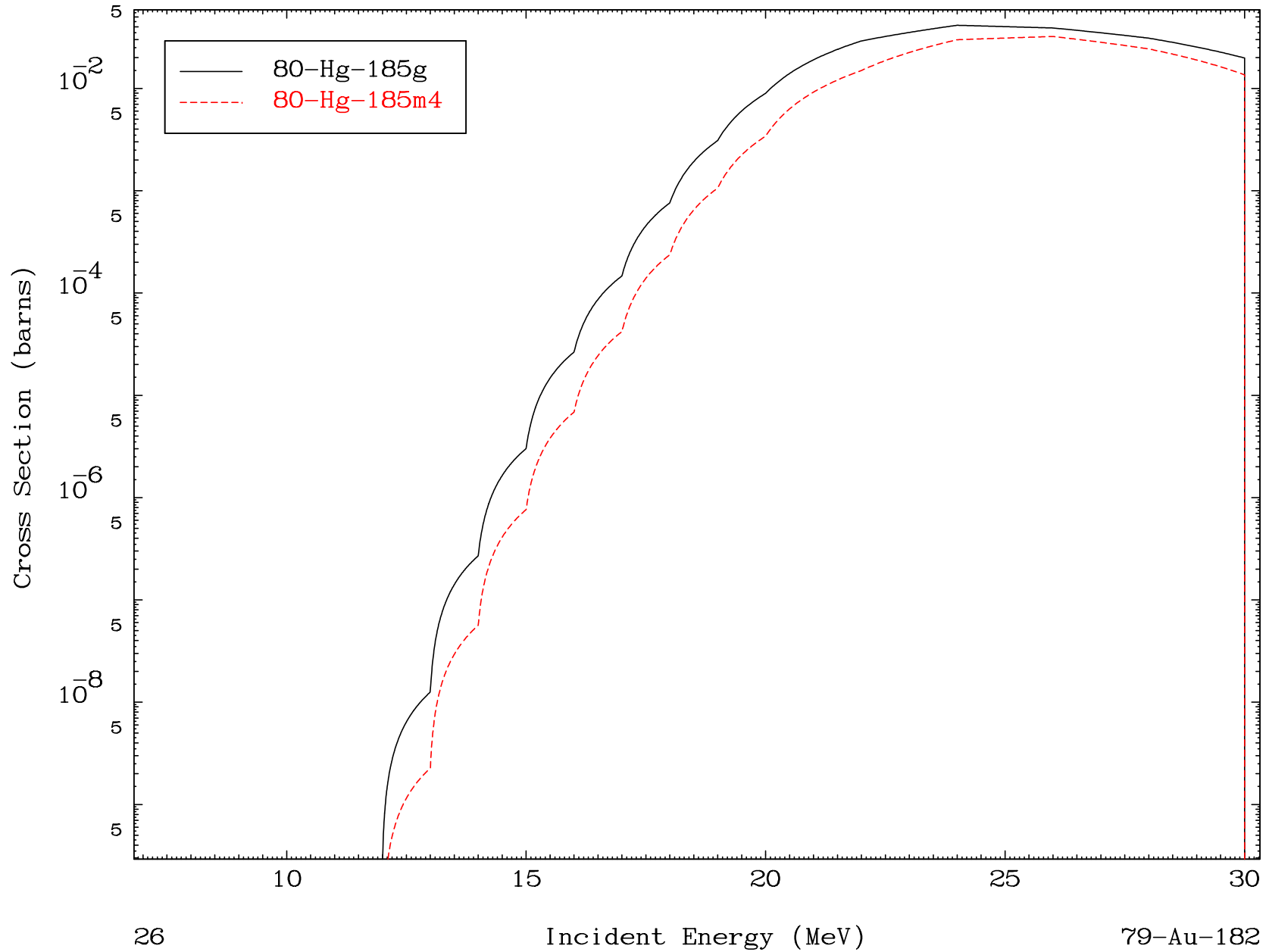
79-Au-182

MAT 7880

(α, p)

79-Au-182

Radionuclide Production Cross Section



MAT 7880

($\alpha, 2p$)

79-Au-182

Radionuclide Production Cross Section

